

## MAGNET HIBRIDA $\text{BaFe}_{12}\text{O}_{19}/\text{Sm}_2\text{Co}_{17}$ : SINTESIS DAN SIFAT KEMAGNETAN

Erfan Handoko<sup>1</sup>, Iwan Sugiharto<sup>1</sup>, Zulkarnain Jalil<sup>2</sup>, dan Bambang Soegijono<sup>3</sup>

<sup>1</sup> Jurusan Fisika, Fakultas Matematika dan Ilmu Pengetahuan Alam, Universitas Negeri Jakarta, Jl. Pemuda No.10 Rawamangun Jakarta 13220. Indonesia

<sup>2</sup> Jurusan Fisika, Fakultas Matematika dan Ilmu Pengetahuan Alam, Universitas Syiah Kuala, Banda Aceh. Indonesia

<sup>3</sup> Departemen Fisika, Fakultas Matematika dan Ilmu Pengetahuan Alam, Universitas Indonesia, Depok 16424. Indonesia

Corresponding author : erfan@unj.ac.id

### Abstrak

Dengan tujuan meningkatkan sifat kemagnetan barium heksaferat,  $\text{BaFe}_{12}\text{O}_{19}$ , disintesis magnet hibrida dengan mengkombinasi magnet  $\text{Sm}_2\text{Co}_{17}$  melalui metode mechanical mixing. Proses perlakukan panas terhadap campuran serbuk magnet hibrida dalam suasana gas argon bertujuan untuk menghilangkan residual stress dan kristalisasi serbuk magnet. Analisis struktur kristal diketahui dengan difraksi sinar-X phillips radiasi K $\alpha$  Co. Morfologi serbuk magnet hibrida diamati dengan scanning electron microscope (SEM). Sifat kemagnetan diukur dengan Permagraph pada temperatur kamar dengan medan magnet luar maksimum 2 T. Hasil sintesis magnet hibrida menunjukkan bahwa terbentuk fasa baru dan terjadi penurunan magnetisasi saturasi (Ms) dan nilai magnetisasi sisa (Mr) setelah perlakuan panas. Namun koersivitas (Hc) meningkat dengan nilai maksimum 28,73 kA/m.

Kata Kunci : Magnet hibrida, mechanical mixing, perlakuan panas, koersivitas.

### Abstract

In order to enhance the magnetic properties of barium ferrite,  $\text{BaFe}_{12}\text{O}_{19}$ , synthesized hybrite magnet by combining  $\text{Sm}_2\text{Co}_{17}$  magnet and prepared by mechanical mixing method. The heat treatment of hybrite magnet powders in an argon gas atmosphere in order to release residual stress and crystallize magnet powders. The analysis of crystal structures was examined by X-Ray Diffractometer (XRD) Phillips with K $\alpha$  Co radiation. Morphology of hybrite magnet was studied using a scanning electron microscope (SEM). The magnetic measurement is carried out by Permagraph at the room temperature with respect to the magnitude of the applied field up to 2 T to find magnetic properties of hybrite magnet. The results show that the new phase is found and decrease saturation magnetization (Ms) and also remanence (Mr) after heat treatment. But The coercivity (Hc) is increased with the maximum of 28.73 kA/m.

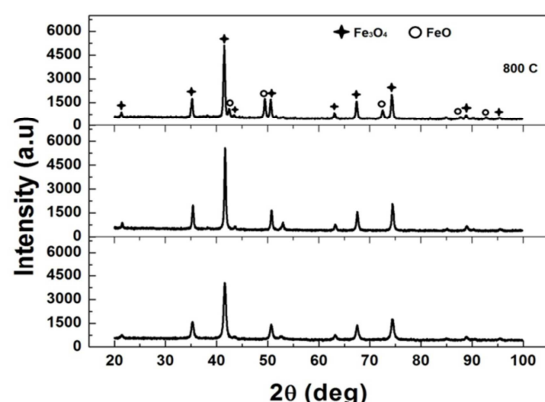
Keywords : Hybrite magnet, mechanical mixing, heat treatment, coersivity.

### 1. Pendahuluan

Pengembangan material magnet permanen yang berbasis logam tanah jarang (*rare earth*) terutama kaya dengan unsur Fe (*Fe-rich*) dan memiliki sifat kemagnetan unggul masih terus dilakukan oleh banyak peneliti bahan magnet. Demikian juga dengan *alloy* magnetik berbasis logam tanah jarang (*Rare earth*) sistem RE-TM-B [1-5], Sm-Co[6-8] dan tidak terkecuali sistem keramik MO.6 Fe<sub>2</sub>O<sub>3</sub> (M=Ba atau Sr)[9-10]. Proses preparasi baik itu teknik konvensional seperti *Powder Metallurgy*[11] maupun teknik modern seperti *Rapid Solidification*[12] telah mampu menghasilkan sifat kemagnetan ekstrinsik yang mencapai 90-

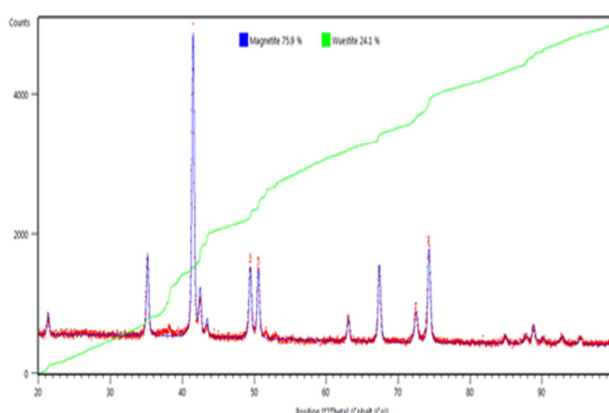
100 % nilai intrinsiknya. Hal ini menunjukkan bahwa seolah-olah jenis-jenis senyawa magnetik baru menjadi sangat mendesak untuk dikembangkan. Material magnet permanen sistem MO.6 Fe<sub>2</sub>O<sub>3</sub> yang jumlahnya pemakaian dalam aplikasi lebih dari 50 % menjadi peluang untuk dikembangkan. Namun demikian magnet permanen tersebut tidak memiliki sifat kemagnetan yang cukup besar dibandingkan dengan jenis magnet logam tanah jarang.

Dalam penelitian telah dilakukan rekayasa struktur magnet barium heksaferat,  $\text{BaFe}_{12}\text{O}_{19}$ , dengan tidak merubah komposisi kimianya melainkan mengkombinasikan dengan



Gambar 1. Pola difraksi sinar-X magnet hibrida  $\text{BaFe}_{12}\text{O}_{19}/\text{Sm}_2\text{Co}_{17}$  setelah perlakuan panas  $400^\circ\text{C}$ ,  $600^\circ\text{C}$ , dan  $800^\circ\text{C}$

magnet berbasis logam tanah jarang samarium kobal  $\text{Sm}_2\text{Co}_{17}$ . Kombinasi dua jenis magnet permanen atau disebut magnet hibrida  $\text{BaFe}_{12}\text{O}_{19}/\text{Sm}_2\text{Co}_{17}$  telah terjadi perubahan perubahan fasa setelah proses pencampuran mekanik dan perlakuan panas serta diikuti sifat kemagnetannya.



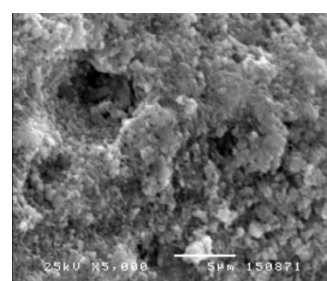
Gambar 2. Hasil penghalusan (refinement) data pola difraksi sinar-X magnet hibrida setelah perlakuan panas  $800^\circ\text{C}$ .

## 2. Metodologi Penelitian

Magnet hibrida dengan komposisi persen berat 95%  $\text{BaFe}_{12}\text{O}_{19}$  dan 5 %  $\text{Sm}_2\text{Co}_{17}$  disiapkan dengan metode *mechanical mixing* dengan *vibration ball mill* (VBM) selama 30 jam dalam suasana cairan toluene. Proses perlakuan panas temperatur  $800^\circ\text{C}$  dalam suasana gas argon terhadap campuran serbuk

dalam bentuk padatan berdiameter 10 mm setelah dikompaksi dengan tekanan 5 ton bertujuan untuk menghilangkan *residual stress* dan kristalisasi serbuk magnet.

Analisis struktur kristal diukur dengan Phillips difraksi sinar-X radiasi Co K $\alpha$  pada interval sudut ( $2\theta$ )  $20^\circ$ - $100^\circ$  dan pengolahan data dengan *software HighScore Plus Version 3.0e PANalytical*. Pengamatan morfologi butir-butir fasa menggunakan *scanning electron microscope* (SEM) 5310LV Jeol. Kurva histerisis dihasilkan dengan alat Permagraph pada temperatur kamar dan medan magnet luar maksimum 2 T bertujuan untuk mengetahui sifat kemagnetan magnet hibrida



Gambar. 3. Foto SEM morfologi struktur mikro magnet hibrida setelah perlakuan panas  $800^\circ\text{C}$ .

## 3. Hasil dan Pembahasan

Struktur kristal magnet hibrida

Setelah proses pencampuran mekanik, serbuk magnet hibrida dipadatkan dan dilakukan proses perlakuan panas pada temperatur  $400^\circ$ ,  $600^\circ$ ,  $800^\circ\text{C}$  selama 30 menit dalam suasana gas argon. Gambar 1 menunjukkan pola difraksi sinar-X magnet hibrida untuk semua perlakuan panas.

Analisis kualitatif magnet hibrida dihasilkan telah terjadi dekomposisi fasa  $\text{BaFe}_{12}\text{O}_{19}$  menjadi fasa magnetit  $\text{Fe}_3\text{O}_4$  dan wustit  $\text{FeO}$  untuk perlakuan panas  $800^\circ\text{C}$  yang merupakan fasa dengan sifat kemagnetan yang rendah. Keberadaan  $\text{Sm}_2\text{Co}_{17}$  tidak terlihat intensitas difraksi dikarenakan jumlahnya yang sangat kecil. Analisis kuantitatif fasa-fasa yang muncul dari data pola difraksi sinar-X setelah

proses perlakuan panas 800°C menggunakan software *High Score Plus Version 3.0e PANalytical* menunjukkan keberadaan fasa besi oksida magnetit  $\text{Fe}_3\text{O}_4$  lebih dominan dan wustit FeO dengan jumlah 76 %  $\text{Fe}_3\text{O}_4$  dan 24 % FeO (persen berat) sebagaimana terlihat pola difraksi sinar-X hasil perhitungan pada gambar 2.

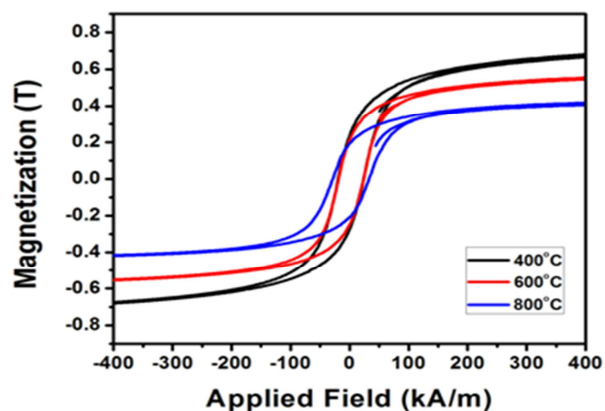
#### *Morfologi struktur mikro*

Pengamatan morfologi struktur mikro dengan SEM pada perbesaran 5000 kali memperlihatkan bentuk butir-butir (*grains*) magnet hibrida yang homogen dengan ukuran kurang dari 1  $\mu\text{m}$  (gambar 3). Pengaruh pencampuran mekanik menyebabkan terjadinya reduksi ukuran partikel dan bertambahnya luas permukaan partikel. Di samping itu *residual stress* menyebabkan kristal dalam keadaan tidak sempurna dan menjadi faktor terjadinya dekomposisi fasa.

#### *Sifat kemagnetan*

Gambar 4 memperlihatkan kurva histerisis magnet hibrida  $\text{BaFe}_{12}\text{O}_{19}/\text{Sm}_2\text{Co}_{17}$  setelah perlakuan panas 400°C, 600°C, dan 800°C hasil pengukuran dengan Permagraph pada temperatur kamar. Sifat kemagnetan yang diperoleh berdasarkan data kurva histerisis dirangkum pada tabel 1. Temperatur perlakuan panas yang meningkat menyebabkan nilai magnetisasi saturasi ( $M_s$ ) yang menurun dan juga nilai remanen ( $M_r$ ) akibat telah terjadinya dekomposisi fasa magnet. Sedangkan nilai koersivitas ( $H_c$ ) meningkat sampai 28,73 kA/m dari 19,54 kA/m sebagai pengaruh dari proses mekanik yang menurunkan ukuran partikel dan merupakan sifat intrinsik bahan. Namun nilai magnetisasi saturasi yang terlihat pada kurva

histerisis maksimum mencapai 0,742 T menunjukkan nilai dari sifat kemagnetan fasa  $\text{Sm}_2\text{Co}_{17}$  masih dapat dipertahankan.



Gambar 4. Kurva histerisis magnet hibrida  $\text{BaFe}_{12}\text{O}_{19}/\text{Sm}_2\text{Co}_{17}$  setelah perlakuan panas.

#### **4. Kesimpulan**

Berdasarkan hasil penelitian dapat disimpulkan bahwa telah disintesis magnet hibrida  $\text{BaFe}_{12}\text{O}_{19}/\text{Sm}_2\text{Co}_{17}$  melalui metode *mechanical mixing*. Perlakuan panas telah menyebabkan dekomposisi fasa magnet  $\text{BaFe}_{12}\text{O}_{19}$  menjadi fasa besi oksida magnetit  $\text{Fe}_3\text{O}_4$  dan wustit FeO lebih dominan dengan jumlah 75,9 %  $\text{Fe}_3\text{O}_4$  dan 24,1 % FeO (persen berat). Nilai magnetisasi saturasi dan remanen cendrung menurun sebagai pengaruh perlakuan panas. Sedangkan koersivitas meningkat akibat ukuran partikel yang mengecil dan fasa  $\text{Sm}_2\text{Co}_{17}$  masih dapat dipertahankan.

#### **Penghargaan**

Peneliti mengucapkan banyak terima kasih kepada Kementerian Pendidikan dan Kebudayaan RI melalui Lembaga Penelitian Universitas Negeri Jakarta (UNJ) atas program penelitian Hibah Bersaing No. 04/UN39.9/PL/Hibah Bersaing/V/2013.

Tabel 1. Sifat kemagnetan magnet hibrida  $\text{BaFe}_{12}\text{O}_{19}/\text{Sm}_2\text{Co}_{17}$  setelah perlakuan panas

Temperatur, °C	Sifat Kemagnetan		
	Magnetisasi Saturasi (Ms), T	Remanen (Mr), T	Koersivitas (Hc), kA/m
400	0,742	0,236	19,54
600	0,583	0,214	18,93
800	0,429	0,193	28,73

**Daftar Pustaka**

- [1] M. Sagawa, S. Fujimura, N. Togawa, H. Yamamoto and Y. Matsuura, *J. Appl. Phys.*, 55 (1984), pp. 2083-2087
- [2] M. Sagawa, S. Fujimura, H. Yamamoto, Y. Matsuura and S. Hirosawa, *J. Appl. Phys.*, 55 (1985), pp. 4094-4096
- [3] J.J. Croat, J.F. Herbst, R.W. Lee and F.E. Pinkerton, *Appl. Phys. Lett.*, 55 (1984), 148
- [4] K.J. Strnat, "Ferro Magnetic Materials", ed. E.P. Wohlfarth and K.H.J. Buschow, North-Holland, vol.4, Amsterdam (1988), pp. 131-210
- [5] M.McCaig and A.G. Clegg, Permanent Magnets in Theory and Practice, 2<sup>nd</sup> edition, Prentech Press, London (1987)
- [6] G. Hoffer and Strnat, *IEEE Trans. Magn. Mag.* 21 (1966), 487. M. Sagawa, S. Fujimura, H. Yamamoto, Y. Matsuura and S. Hirosawa, *J. Appl. Phys.*, 57 (1984), 2078
- [7] J. Smit and H.P.J. Wijn, "Ferrite", Willey, New York (1959)
- [8] J. Ormerod, *Metals and Materials*, 4 (1989), 478-482
- [9] K.H.J. Buschow, *Mat. Sci. Reports*, 1 (1986), pp 1-64
- [10] H.A. Davies, in *Rapidly Quenched Metals III*, ed. B.Cantor, 1, the Chameleon Press Ltd, London (1988), pp 8-14
- [11] R. Skomski and J.M.D. Coey, *IEEE Trans. Magn.*, 29 (1993), 2860
- [12] C. Suryanarayana, *Int. Materials Reviews*, 40 (1995), 41